

С 341, за

K-18

2323/2-77

СООБЩЕНИЯ  
ОБЪЕДИНЕННОГО  
ИНСТИТУТА  
ЯДЕРНЫХ  
ИССЛЕДОВАНИЙ



ДУБНА

20/и-74

11 - 10492

В.В.Каманин

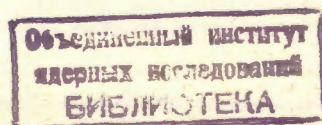
РЕШЕНИЕ ОБРАТНЫХ ЗАДАЧ НАХОЖДЕНИЯ  
ТЕРМОДИНАМИЧЕСКИХ ХАРАКТЕРИСТИК ЯДРА  
ПО ЭКСПЕРИМЕНТАЛЬНЫМ ДАННЫМ  $\Gamma_f/\Gamma_n$  И  $\Delta\chi$   
В МОДЕЛИ С ПОСТОЯННОЙ ТЕМПЕРАТУРОЙ

1977

11 - 10492

В.В.Каманин

РЕШЕНИЕ ОБРАТНЫХ ЗАДАЧ НАХОЖДЕНИЯ  
ТЕРМОДИНАМИЧЕСКИХ ХАРАКТЕРИСТИК ЯДРА  
ПО ЭКСПЕРИМЕНТАЛЬНЫМ ДАННЫМ  $\Gamma_f / \Gamma_n$  И  $\Delta\chi$   
В МОДЕЛИ С ПОСТОЯННОЙ ТЕМПЕРАТУРОЙ



Каманин В.В.

11 - 10492

Решение обратных задач нахождения термодинамических характеристик ядра по экспериментальным данным  $\Gamma_f/\Gamma_n$  и  $\Delta\chi$  в модели с постоянной температурой

Разработаны программы для решения обратных задач нахождения термодинамических характеристик ядра в модели с постоянной температурой по экспериментальным данным энергетической зависимости  $\Gamma_f/\Gamma_n(E^*)$  и эффективных величин  $\Delta\chi_{\text{эфф}}$ , измеренных с помощью эффекта теней в реакциях на монокристаллических мишнях. Программы написаны на языке ФОРТРАН с использованием стандартной программы COMPIL, в основе которой лежат регуляризованные итерационные процессы Гаусса-Ньютона.

Работа выполнена в Лаборатории ядерных реакций ОИЯИ.

Сообщение Объединенного института ядерных исследований. Дубна 1977

© 1977 Объединенный институт ядерных исследований Дубна

## 1. Введение

Экспериментальные данные энергетической зависимости отношения делительной и нейтронной ширин распада ядер  $\Gamma_f/\Gamma_n$  в области энергии возбуждения  $40 < E^* < 120$  МэВ можно воспроизвести в модели с постоянной температурой в предположении  $T_n = \text{const}$  и  $T_f = T_f|_{E_0^*} + k(E^* - E_0^*)$  - слабая линейная функция  $E^*/1$ ,  $T_n$  и  $T_f$  - температуры ядер после испарения нейтрона и на вершине барьера деления, соответственно. Параметры модели  $T_f|_{E_0^*} = T_f^0$ ,  $k$  и  $B_f^0$ /жидкокапельная составляющая барьера деления/ систематизированы в виде гладких функций:  $T_f^0(B_f - B_n)$ ,  $k(B_f^0 - B_n)$  и  $B_f^0(Z^2/A)$ ,  $B_n$  - энергия связи нейтрона. Это дает возможность с хорошей точностью производить расчеты  $\Gamma_f/\Gamma_n(E^*)$  для любых ядер в диапазоне  $60 < Z < 85$ , что, в частности, необходимо для теоретической обработки экспериментальных данных по временам жизни ядер, измеренным с помощью эффекта теней<sup>/2,3/</sup>.

В настоящей работе приводится структура программы RATIO, с помощью которой параметры модели оптимизировались для теоретического воспроизведения экспериментальных зависимостей  $\Gamma_f/\Gamma_n(E^*)$  различных ядер, полученных в реакциях с тяжелыми ионами от  $^{11}\text{B}$ , до  $^{22}\text{Ne}$ <sup>/4,5,6/</sup> и описана процедура сглаживания параметров<sup>/1/</sup>.

В работе приведена также программа DELTA, в основе которой лежит математическая модель, описывающая физическую составляющую глубин теневых минимумов в угловых распределениях осколков деления от монокристаллической мишени с учетом деления после испарения нейтронов<sup>/7/</sup>. С помощью этой программы

решается обратная задача нахождения времен жизни высоковозбужденных составных ядер в рамках модели с постоянной температурой по экспериментальным данным глубин теневых минимумов. Результаты расчетов, проведенных для ядер в диапазоне  $79 \leq Z \leq 89$ , систематизированы в /7/.

Программы написаны на языке ФОРТРАН с использованием библиотечной программы COMPILE /библиотека программ ОИЯИ, С4О1//<sup>13</sup>/ для ЭВМ CDC-6500.

## 2. Основные соотношения

### a/ Расчет $\Gamma_f / \Gamma_n (E^*)$

В расчетах  $\Gamma_f / \Gamma_n (E^*)$  (GFN)<sup>\*</sup> использовалась известная формула<sup>/8/</sup> в предположении зависимости плотности уровней от энергии возбуждения  $\rho = \text{Const} \exp(E^*/T)$ :

$$\frac{\Gamma_f}{\Gamma_n} (E^*) = \frac{T_f k_o}{2 A_c^{2/3} T_n^2} \exp\left[\frac{E^* - B_f - E_R^f}{T_f} - \frac{E^* - B_n - E_R}{T_n}\right],$$

где  $A_c$  (AC) - массовое число составного ядра,  $T_f$  (TF) - температура ядра на вершине барьера,  $T_n$  (TT) - температура ядра после испарения нейтрона,  $B_f$  (BF) - барьер деления ядра,  $B_n$  (BN) - энергия связи нейтрона /11/,

$E_R$  (ER) и  $E_R^f$  (ERF) - средняя вращательная энергия, соответственно, составного ядра и ядра на вершине барьера,  $k_o = 12,25 \text{ МэВ}$ .

Средняя вращательная энергия составного ядра вычислялась в соответствии с /9/, при этом максимальная вращательная энергия ограничивалась сверху критическим угловым моментом /10/. Вращательная энергия в седловой точке вычислялась на основе данных работы /12/.

\* Здесь и далее в скобках указано обозначение величины на внутреннем языке программ RATIO и DELTA.

### б/ Расчет $\Delta \chi_{\text{эфф}}$

Для расчета величин  $\Delta \chi_{\text{эфф}}$  использовалась формула, вывод которой дан в работе /7/:

$$\chi(\alpha) = \frac{1}{\sum_{i=0}^n P_i} \sum_{i=0}^n P_i \chi_i(\alpha);$$

$$\begin{aligned} \chi_i(\alpha) = & \frac{1}{v \tau_i \sin \alpha} \sum_{k=0}^i C_{ik} \left\{ \frac{2D(v \tau_k \sin \alpha)^3}{R_0^2} [1 - (1 + \frac{r_e}{v \tau_k \sin \alpha}) \times \right. \\ & \times e^{-\frac{r_e}{v \tau_k \sin \alpha}} - \frac{1}{2} (\frac{r_e}{v \tau_k \sin \alpha})^2 e^{-\frac{r_e}{v \tau_k \sin \alpha}}]_+ \\ & \left. + \frac{r_e}{v \tau_k \sin \alpha} e^{-\frac{r_e}{v \tau_k \sin \alpha}} \right\}. \end{aligned}$$

Величины вероятностей деления после испарения i нейтронов  $P_i$  (AK) вычислялись с помощью следующего соотношения:

$$P_i = \frac{(\Gamma_f / \Gamma_n)_i}{(1 + \Gamma_f / \Gamma_n)_i} \prod_{j=0}^i \frac{1}{(1 + \Gamma_f / \Gamma_n)_j}.$$

Величины  $\tau$  (TIME) определялись следующим образом:  $\tau = h / (\Gamma_n + \Gamma_f)$ ,  $r_e(R_e)$  - параметр обрезания атомного потенциала,  $C_{ik}$  /см. /7/ /; D - параметр, учитывающий отличие потенциала реальной атомной цепочки от непрерывного цилиндрического потенциала заряженной оси;  $R_0$  (RO) - радиус объема, приходящегося на один атом в монокристалле; V (V) - скорость отдачи составного ядра,  $\alpha$  (ALPHA) - угол между одной из рабочих осей и направлением пучка ионов. Эффективная величина  $\Delta \chi$  с учетом деления после испарения нейтронов определялась как

$$\Delta \chi_{\text{эфф}} = \chi(\alpha_1) - \chi(\alpha_2).$$

### 3. Нахождение параметров модели с постоянной температурой

Очевидно, что для нахождения трех параметров модели  $B_f$ ,  $T_f^o$  и  $k(EK)$  необходимо иметь количество уравнений  $M \geq 3$ . Допустим, что имеется  $M$  энергий возбуждения, для которых измерены отношения  $\Gamma_f / \Gamma_n (GFN(I))$ ,  $I = 1, 2, \dots, M$ .

Тогда имеется система нелинейных уравнений относительно искомых параметров:

$$\left( \frac{\Gamma_f}{\Gamma_n} \right)_i = \frac{T_f^i k_o}{2 A_c^2 T_n^2} \exp \left[ \frac{E^* - B_f^i - E_R^f}{T_f^i} - \frac{E^* - B_n - E_R}{T_n} \right], \quad (xx)$$

$$i = 1, 2, \dots, M.$$

В тех работах, где приводятся экспериментальные данные о зависимости  $\Gamma_f / \Gamma_n (E^*)$ ,  $M > 3$ . С другой стороны, невозможно отдать предпочтение каким-либо трем точкам из множества  $M$ , поэтому система (xx) становится переопределенной.

Задача численного решения переопределенных систем уравнений является неустойчивой по отношению к колебаниям входных данных и ошибок округлений при работе ЭВМ. С целью преодоления этих трудностей программа RATIO для решения систем уравнений типа (xx) была основана на специально разработанной для решения подобных задач программе COMPIL.<sup>[13]</sup> Программа COMPIL базируется на программе REGN с алгоритмом, основанным на регуляризованных итерационных процессах Гаусса-Ньютона, и предназначена для построения устойчивых итерационных процессов.<sup>[14]</sup>

Текст программы RATIO, за исключением программы COMPIL, приведен в Приложении 1.

Следует отметить некоторые особенности работы с программой RATIO.

Матрицы Якоби, составляющие основу общей итерационной схемы в программе REGN, формируются с

помощью частного дифференцирования функции  $Y = GFN(I)$  по искомым неизвестным. Одним из способов дифференцирования является численное дифференцирование /класс D/.

Опыт работы с программой RATIO показал, что наилучшим вариантом в классе D для решения систем (xx) является дифференцирование с шагом, зависящим от неизвестных. Этот процесс реализуется присвоением /см.<sup>[13]</sup>, стр. 18/ числового значения оператору D. Такой выбор шага дифференцирования целесообразен ввиду большого различия ( $\sim 10^4$ ) в величинах параметров.

Применяемая в программе REGN "аддитивная регуляризация" итерационного процесса осуществляется различными способами при помощи присвоения определенного численного значения оператору EI /см.<sup>[13]</sup>, стр. 11/. Оптимальный результат решения системы (xx) с точки зрения метода наименьших квадратов HISQ с наименьшим количеством итераций достигается с помощью авторегуляризованного процесса первого типа, при этом  $EI = E_o$ , где  $E_o$  - задаваемая постоянная.

При работе с программой RATIO в большинстве задач наблюдалось монотонное сходжение решения, о чем можно было судить по монотонному убыванию от итерации к итерации величины HISQ. Обычно для получения решения системы (xx) было достаточно задать  $I_0 \sim 100$  итераций, при этом из модификаций алгоритма прерывания итерационного процесса выбирался выход решения, соответствующего итерации с наименьшим значением HISQ, при достижении заданного числа итераций  $ITN = I_0$  /см.<sup>[13]</sup>, стр. 22/.

Следует отметить, что существенное влияние на скорость решения оказывают величины начального приближения искомых параметров, задаваемые посредством присвоения операторам  $xx(n)$  численных значений, а также способ задания весов  $g_i$  величин  $(\Gamma_f / \Gamma_n)_i$ . Имеет место соотношение /см.<sup>[13]</sup>, стр. 22/:

$$g_i = \frac{1}{(\Delta (\Gamma_f / \Gamma_n)_i)^2},$$

где  $\Delta(\Gamma_f / \Gamma_n)_i$  - дисперсия величин  $(\Gamma_f / \Gamma_n)_i$  типа стандартного отклонения.

В работах<sup>/4,5,6/</sup> дисперсии величин  $\Gamma_f / \Gamma_n$  не приводятся, поэтому можно было использовать произвольные величины. Было установлено, что для получения решения с минимальным отклонением расчетных и экспериментальных величин  $\Gamma_f / \Gamma_n$  для всей системы уравнений (хх) /критерии RO и MAX DEFECT, см.<sup>/13/</sup>, стр. 10/ наилучшим способом задания весов является выражение

$$g_i = \frac{1}{(\Delta(\Gamma_f / \Gamma_n)_i / (\Gamma_f / \Gamma_n)_i)^2 C_E 10^4},$$

где

$$C_E = \left( \frac{25}{E^*} \right)^2.$$

#### 4. Сглаживание параметров

С помощью программы RATIO были обработаны экспериментальные зависимости  $\Gamma_f / \Gamma_n(E^*)$  для 19 реакций из работ<sup>/4,5,6/</sup>. Было обнаружено, что, несмотря на сильный разброс, найденные значения параметров имеют регулярный характер функций вида  $B_f^o = B_f^o(Z^2/A)$ , где  $B_f^o$  - жидкокапельная составляющая барьера деления, которая определялась по схеме из работы<sup>/15/</sup>;  $T_f^o = T_n^o(B_f - B_n)$ ;  $k = k(B_f - B_n)$ .

Корреляционные коэффициенты, которые даются программой COMPIL<sup>/13/</sup>, указывали на довольно сильную связь параметров при решении системы (хх). Было обнаружено, что разброс параметров может быть значительно уменьшен путем использования такой связи.

Для этого проводилось сглаживание одного из параметров, например  $B_f$ , и соответствующие значения вводились в программу в виде начального приближения XX(I). В программе COMPIL имеется возможность фиксирования искомых параметров, с целью исключения их поиска при решении системы, путем присвоения операторам DX(n) единичных значений. Таким образом, программа RATIO искала решение только по двум другим параметрам.

Было обнаружено, что сглаживание параметров эффективно достигается при двух - трехкратном повторении этой операции по всем параметрам.

Сглаженные параметры TF100, EK, BF для обработанных зависимостей  $\Gamma_f / \Gamma_n(E^*)$  приведены в работе<sup>/1/</sup>.

#### 5. Пример использования программы RATIO

В качестве примера решения обратной задачи нахождения величин BF, TF100 и EK по экспериментальной зависимости  $\Gamma_f / \Gamma_n(E^*)$  была выбрана реакция  $^{174}_{70}\text{Yb} + ^{16}\text{O} \rightarrow ^{190}_{78}\text{Pt}$ <sup>/4/</sup>. Задача относилась к типу  $k=3$ ,  $kk=3$ <sup>/13/</sup>, стр. 24/, при этом величины  $1/g_i$  носили нестатистический характер. Ход решения представлен начальной и конечной итерациями в табл. 1. В данном случае использовалось численное дифференцирование с шагом  $D = 100.002$ , и начальная регуляризация задавалась в виде  $EI = 100$ . Найденное решение  $BF = 20,086 \text{ МэВ}$ ,  $TF100 = 0,793 \text{ МэВ}$  и  $EK = 0,109 \cdot 10^{-2}$  получено при фиксированном значении  $T_n = 0,9 \text{ МэВ}$ .

#### 6. Обработка экспериментальных данных $\Delta\chi_{\text{эфф}}$

Как было сказано выше, с помощью программы RATIO была получена систематика параметров<sup>/1/</sup>, позволяющая с хорошей точностью описывать энергетические зависимости  $\Gamma_f / \Gamma_n(E^*)$ . Независимость систематики от  $T_n$  дает возможность использовать вариацию этой величины для извлечения абсолютных значений ширин  $\Gamma_n$  и  $\Gamma_f$  из экспериментальных данных эффективных времен жизни высоковозбужденных составных ядер, измеренных с помощью эффекта теней.

Однако первые попытки воспроизвести зависимость  $\Delta\chi_{\text{эфф}}$  от энергии возбуждения дали для некоторых реакций неудовлетворительный результат. Было установлено, что небольшое отклонение величин  $T_f^o$  от

Таблица 1

Z= 78. A=190.

Вывод на печать ЭВМ решения обратной задачи  
нахождения величин  $B_f = x(1)$ ,  $T_f |_{t=0} = x(2)$  и  $k = x(3)$   
по экспериментальным данным  $\Gamma_f / \Gamma_n$  для реакции  
 $DfBN=11.67$      $Tt= .90$      $174\text{Yb} + 16\text{O}$  /4/ с помощью программы RATIO.

```

AUTO-REGULARIZED GAUSS-NEWTON PROCESS
EXITTT INITTT      RO      MAX DEFECT      HI SQ      TAU      COND      EPS
0          0         *2956296E+00   *2911974E-02   *1969065E-02   *7345254E+02 0.
UNKNOWNS
X( 1)=  *20000000000E+02 X( 2)=  *8100000000E+00 X( 3)=  *9000000000E-03

```

```

SOLUTION AND STATISTIC ESTIMATES
BY LEAST SQUARE RCOT METHOD
INITTT      RO      MAX DEFECT      HI SQ      TAU      COND      EPS
50          0         *8166498E-04   *1563824E-03   *1182829E-04   *3269130E+04   *6792668E+06   *486283E-02
UNKNOWNS
X( 1)=  *200641671E+02 B( 1)=  1.00000  B( 2)=  -*99962 B( 3)=  *99280
+/-
X( 2)=  *2413045E+01
+/-
X( 3)=  *7930525043E+00 B( 1)=  -*99982 B( 2)=  1.00000  B( 3)= -*99082
+/-
X( 4)=  *25889226E-01
+/-
X( 5)=  *308923249E-02 B( 1)=  *99280 B( 2)=  -*99082 B( 3)=  1.00000
DEFECTS
0( 1)=  *8389697262E-04 U( 2)=  *6723356620F-16 0( 3)=  *1965879217E-04 0( 4)=  *2850884605E-04
0( 5)=  *7402720859E-04 D( 6)=  *.1217291302E-03 D( 7)=  -*1563124102E-03 0( 8)=  *.3104208153E-04

EXPERIMENT      ERROR      THEORY      ENERGY
*00200        *00100      *00250      51.00000
*00900        *00450      *00935      55.00000
*02200        *01100      *03026      61.00000
*05000        *02500      *06023      66.00000
*10000        *05000      *12231      72.00000
*15000        *07500      *18293      76.00000
*36000        *18000      *32453      83.00000
*59000        *29500      *59537      95.00000

```

систематики довольно сильно меняет энергетическую зависимость  $\Delta\chi_{\text{эфф}}$ . В свою очередь, величина  $T_f^o$  является функцией аргумента  $(B_f - B_n)$ , и ее отклонение может быть связано с неточностью определения величин  $B_f$  и  $B_n$ .

С целью достижения точного теоретического воспроизведения экспериментальных зависимостей  $\Delta\chi_{\text{эфф}}(E^*)$  в расчет был введен дополнительный параметр  $C_{T_f^o}$ , характеризующий отклонение величин  $T_f^o$  от систематики.

Текст программы DELTA, с помощью которой производились вычисления, приведен в Приложении 2. Эта программа также основана на стандартной программе COMPIL и относится к типу  $k=3$   $kk=3$ . В программу DELTA входит подпрограмма LINT1 линейной интерполяции величин  $T_f^o$  и  $k$  систематики<sup>/1/</sup>.

## 7. Заключение

В работе описана программа RATIO, основанная на стандартной подпрограмме COMPIL, которая предназначена для нахождения параметров модели с постоянной температурой из экспериментальных данных зависимостей  $\Gamma_f / \Gamma_n(E^*)$ .

Найдены оптимальные значения операторов, ответственных за скорость решения задачи.

Описан способ сглаживания искомых параметров за счет возможностей, заложенных в подпрограмме COMPIL.

Было найдено, что для решения задач типа (xx) применение регуляризованных итерационных процессов Гаусса-Ньютона дает хороший результат. При этом следует отметить практическую независимость решения от начального приближения.

Разработана программа DELTA, позволяющая извлекать термодинамические характеристики ядер  $T_n$  и  $T_f$  из экспериментальных данных эффективных времен жизни составных ядер, измеренных с помощью эффекта теней, с учетом деления после испарения нейтронов.

В заключение автор считает своим приятным долгом выразить благодарность академику Г.Н.Флерову и профессору Ю.Ц.Оганесяну за внимание и поддержку работы, С.А.Карамяну за плодотворные обсуждения и Б.Бочеву за консультации при написании программ.

### Приложение 1. Текст программы RATIO.

```

1      PROGRAM RATIO (INPUT,CUTPUT)
COMMON/DUTN/ITN,KPN,KPFN/LC/LC
COMMON/TYP/K,KK/ARPN/TN,A1N/ITS/ITS
COMMON/DROPX/X(100)
COMMON/LINT/LINT
COMMON/NPN/NPN
COMMON/X/X(10)
COMMON/KGSN/KGSN
DIMENSION ZL(3,3)
      DIMENSION Z(10,10),XX(10),YR(100)
COMMON/DATAS/Z1,A1,DM1,Z2,A2,DM2,DMC,BN,TT
      DIMENSION ER(100)
ITEMP=3
NUM=20
DO 3 II=1,NUM
M=24
N=3
NPN=1
EI=100.
ITN=50
D=100.002
K=3
KK=3
KPFN=4
      READ2,Z1,A1,DM1,Z2,A2,DM2,DMC,BN,BF
ZCCMP=Z1+Z2
ACOMP=A1+A2
DBFBN=BF-BN
MW=M/3
D05I=1,MW
J1=3*(I-1)+1
J2=3*(I-1)+2
J3=3*I
REA020,YR(J1),YR(J2),YR(J3)
      ER(J2)=YR(J2)
      YR(J2)=(YR(J2)/YR(J1)*25./YR(J3))**2*10000.
CONTINUE
      TI=0.8
DO 4 III=1,ITEMP
      TI=TT+.1
      XX(1)=BF
      XX(2)=0.9*TT
      XX(3)=0.001*TT
      PRINT 21

```

```

45      PRINT 26,ZCOMP,ACOMP
PRINT 22,Z1,A1,Z2,A2
PRINT 23,BN,TT
PRINT 27,DBFBN
CALL COMPILE (N,NP,INDEX,XX,Y,DF)
PRINT 25
DO 6 IIT=1,MW
J1=3*(IIT-1)+1
J2=3*(IIT-1)+2
J3=3*IIT
X(1)=YR(J3)
CALL RELADI (N,NP,INDEX,XX,Y,DF)
G=Y
      PRINT 24,YR(J1),ER(J2),G,YR(J3)
CONTINUE
FORMAT (2F4.0,F7.3/
2F4.0,F7.3/
* F7.3/
* F5.3/F4.1)
      FORMAT (3F10.6)
FORMAT (////5X,13HFINAL RESULTS)
FORMAT (////5X,3HZ1=F4.0,2X,3HA1=,F4.0/
* 5X,3HZ2=,F4.0,2X,3HA2=,F4.0)
FORMAT (5X,3HBN=,F5.3,5X,3HTT=,F4.2)
FORMAT (5X,4(F12.5,2X))
FORMAT (//5X,12H EXPERIMENT,6X,5HERROR,8X,6HTHEORY,
* 8X,6HENERGY)
FORMAT (////5X,2HZ=,F4.0,2X,2HA=,F4.0)
FORMAT (5X,6HDBFBN=,F5.2)
CONTINUE
CONTINUE
END
      SUBROUTINE RELADI (N,NP,INDEX,T,Y,DF)
COMMON/X/X(10)
COMMON/DATAS/Z1,A1,DM1,Z2,A2,DM2,DMC,BN,TT
      DIMENSION T(N),DF(N)
E0=X(1)
R0=1.22
Z=Z1+Z2
A=A1+A2
A3=A1** (1./3.) + A2** (1./3.)
DM=DM1+DM2-DMC
EB=0.96*Z1*Z2*A/(A3*A2)
EB1=EB*A2/A+DM
XZ=1.-Z**2/(45.*A)
W=1.-1.167*XZ-5.026*XZ**2+6.874*XZ**3
S2CR=(0.155*R0*A3*(A1*A2*EB1/A)**0.5)**2
EP=(E0-DM)*A/A2
S2M=0.0937*A1*A2*A3**2*EP*(1.-EB/EP)/A
IF(S2M-S2CR) 4,5,5
S2=S2M
GO TO 6
5      S2=S2CR
CONTINUE
ER=0.5*35.12*S2/A** (5./3.)
ERF=W*ER
BF=T(1)
TF100=T(2)
EK=T(3)
TF=TF100+EK*(E0-100.)
CFN=(12.25*TF)/(2.*A** (2./3.)*TT**2)

```

### Приложение 1. Продолжение

```

30      EAB1=E0*((1./TF)-(1./TT))
      EAB2=(BF+ERF)/TF
      EAB3=(BN+ER)/TT
      EABC=EAB1-EAB2+EAB3
      Y=CFN*EXP(EABC)
      RETURN
      END

```

### Приложение 2. Текст программы DELTA.

```

1      PROGRAM DELTA(INPUT,OUTPUT)
COMMON/OUTN/ITN,KPN,KPFN/LC/LO
COMMON/TYP/K,KK/ARP/N,TN,A1N/ITS/ITS
COMMON/DROPX/DX(100)
COMMON/X/X(10)
COMMON/KGSM/KGSN/LCH/LCH
COMMON/XT/XT(16)/FK/FK(32)
DIMENSION Z(10,10),XX(10),YR(100),ZL(2,2)
10     COMMON/DATAS/ZP,AP,DM1,ZT,AT,DM2,DMC,BN(9),BF(9),CONST,ANGLE
COMMON/KAY/KAY
      READ7,(XT(I),IA=1,16)
      READ8,(FK(IB),IB=1,32)
D03II=1,10
M=6$N=2$K=3$KK=3$KPFN=4
ITN=10$D=100.001$EI=100.
READ2,ZP,ZT,AP,AT,DM1,DM2,DMC,CONST,ANGLE
      READ1,(BN(I),I=1,9),(BF(I),I=1,9)
20     1      FORMAT(4F4.0/3F7.3/F4.2/F5.3)
      FORMAT(9F5.3/9F4.1)
ZCOMP=ZP+ZT$ACOMP=AP+AT
      MH=M/3
      FORMAT(16F4.1)
      FORMAT(8F5.3/8F5.3/8F7.5/8F7.5)
25     005I=1,MH
J1=3*(I-1)+1 $ J2=J1+1 $ J3=J2+1
      READ4,YR(J1),YR(J2),YR(J3)
      FORMAT(2F5.3,F4.0)
      CONTINUE
30     XX(1)=1. $ XX(2)=1.
      PRINT21
      PRINT26,ZCOMP,ACOMP
      PRINT22,ZP,AP,ZT,AT
      PRINT23,BN,BF
35     PRINT 27,CONST,ANGLE
      FORMAT(//5X,6HCONST=,F5.3,2X,6HANGLE=,F5.3)
KAY=0
      CALL COMPILE(M,N,D,EI,Z,ZL,XX,YR)
      D06IIT=1,MH
40     J1=3*(IIT-1)+1 $ J2=J1+1 $ J3=J2+1
X(1)=YR(J3)$KAY=1
      CALL RELADI(N,NP,INDEX,XX,Y,DF)
      PRINT25
      PRINT24,YR(J1),YR(J2),Y,YR(J3)
      CONTINUE
      FORMAT(//5X,13HFINAL RESULTS)
45     6
21

```

```

26      FORMAT(//5X,2HZ=,F4.0,2X,2HA=,F4.0)
22      *      FORMAT(//5X,3HZ1=,F4.0,2X,3HA1=,F4.0)
      5X,3HZ2=,F4.0,2X,3HA2=,F4.0)
50     23      FORMAT(//5X,3HBN=,9(F6.3)/5X,3HBF=,9(F4.1,2X)/)
      24      FORMAT(5X,4(4X,F7.3,3X))
      25      FORMAT(//5X,12H EXPERIMENT,6X,5HERROR,8X,
      *      6HTHEORY,8X,6HENERGY)
      3      CONTINUE
      55      END

1      SUBROUTINE RELADI(N,NP,INDEX,T,Y,DF)
DIMENSION T(N),DF(N)
      DIMENSION FUN1(10),FUN2(10)
      DIMENSION VT090(10),VT150(10)
      DIMENSION CC090(10,10),AC090(10,10)
      DIMENSION CC150(10,10),AC150(10,10)
      DIMENSION HI1(10),HI2(10)
      DIMENSION GN(10),GKF(10),AK(10),PP(10)
      DIMENSION C(10,10)
      DIMENSION APGFN(10),RAP(10,10)
      DIMENSION RTIMS(10,10),DART(10,10)
COMMON/XT/XT(16)/FK/FK(32)
COMMON/X/X(10)
COMMON/KAY/KAY
      DIMENSION F(4),TF(10)
      DIMENSION AC(10),E(10),S2C(10),ER(10),
      *      ERF(10),RGNN(10,10)
COMMON/DATAS/ZP,AP,DM1,ZT,AT,DM2,DMC,BN(9),BF(9),CONST,ANGLE
20     DIMENSION TC(10)
      RC=.4
      E0=X(1)
      TN=T(1)
      CTF=T(2)
      R0=1.22
      C0=1.25
      Z1=ZP
      A1=AP
      Z2=ZT
      A2=AT
      Z=Z1+Z2
      A=A1+A2
      A3=A1**((1./3.))+A2**((1./3.))
      DM=DM1+DM2-DMC
      E8=.96*Z1*Z2*A/(A3*A2)
      EB=EB*A2/A*DM
      XZ=1.-Z**2/(45.*A)
      M=1.-1.167*XZ-5.026*XZ**2+6.874*XZ**3
      S2C=(0.155*R0*A3*(A1*A2*EB1/A)**0.5)**2
      EP=(E8-DM)*A/A2
      VEL=.139E2*(A1/A)*(EP/A1)**.5
      IF(KAY-1)109,110,109
      109  GO TO 111
      110  CONTINUE
      PRINT 60,RC
      60  FORMAT(5X,3HRC=,F5.3)
      PRINT 57,VEL
      57  FORMAT(5X,6HVEL=,F4.2,9H+8 CM/CEK)
      PRINT 49,T
      49  FORMAT(5X,3HNEUTRON EVAPORATION TEMPERATURE/20X,F4.2)
      111  CONTINUE
      S2M=0.0937*A1*A2*A3**2*EP*(1.-EB/EP)/A
      IF(S2M-S2CR)4,5,5
      4      S2=S2M
      5      GO TO 6
      6      S2=S2CR
      CONTINUE

      IF(E0-70.)14,14,15
      14  NNN=4
      GO TO 13
      15  IF(E0-80.)16,16,17
      16  NNN=5

```

```

      GO TO 13
65   17 IF(E0=90.)18,18,19
      GO TO 13
      18 IF(E0=100.)20,20,21
      19 NNN=7
      GO TO 13
      20 NNN=7
      GO TO 13
      21 IF(E0=110.)22,22,26
      22 NNN=8
      GO TO 13
      23 NNN=9
      CONTINUE
      24 IF(KAY=1)101,100,101
      100 MMM=1
      GO TO 102
      101 MMM=NNN
      CONTINUE
      102 DO 201 NXN=MMM,NNN
           HIEF1=0.
           HIEF2=0.

           DO 202 II=1,10
           E(I)=0
           ER(I)=0
           ERF(I)=0
           GN(I)=0
           TIME(I)=0
           APGFN(I)=0
           AK(I)=0
           TF(I)=0
           CONTINUE
           202 DO 1 I=1,NXN
                CI=I
                AC(I)=A-(CI-1)
                IF(I=1) 8,7,8
                7   E(I)=EJ
                S2C(I)=S2
                GO TO 9
                8   E(I)=C(-1)-BN(I-1)-2.
                S2C(I)=(S2**.5-2.*(CI-1.))**2
                CONTINUE
                9   ER(I)=0.5**35.12*S2C(I)/AC(I)**(5./3.)
                ERF(I)=HCR(I)
                XA=BF(I)-BN(I)
                CALL LINT1(XA,XT,16,FK,2,F)
                TF100=F(1)*TN*CTF
                EK=F(2)*TN
                TF(I)=TF100+EK*(E(I)-100.)
                GFN(I)=12.25*TF(I)/(2.*AC(I)**(2./3.)*TN**2)
                * EXP(E(I)*(1./TF(I)-(1./TN))-(3F(I)+ERF(I))/TF(I)
                + (BN(I)+ER(I))/TN)
                APGFNI=1.+GFN(I)
                GNF(I)=1./GFN(I)
                IF(I=1)10,11,10
                AK(I)=1./(1.+GNF(I))
                PP(I)=1.
                GO TO 12
                10  PP(I)=PP(I-1)/(1.+GNF(I))*FP(I)
                AK(I)=1./(1.+GNF(I))*FP(I)
                CONTINUE
                12  IF(Z=90.)61,62,62
                61   TC(I)=TN
                GO TO 63
                62   TC(I)=TF(I)
                CONTINUE
                63   G(I)=AC(I)**(2./3.)*TN**2/(3.141*12.25)*
                     EXP((E(I)-BN(I)-ER(I))/TN-(E(I)-ER(I))/TC(I))
                     TIME(I)=0.58E-6/(GN(I)*(1.+GNF(I)))
                     VT150(I)=VEL*TIME(I)
                     VT150(I)=VT090(I)*SIN(ANGLE)
                     FUN1(I)=1.-(1.+RC/VT090(I))*EXP(-RC/VT090(I))-
                     5*(RC/VT090(I))**2*EXP(-RC/VT090(I))
                     FUN2(I)=1.-(1.+RC/VT150(I))*EXP(-RC/VT150(I))-
                     5*(RC/VT150(I))**2*EXP(-RC/VT150(I))
                     DO 2 K=1,I
                     RGNN(K,I)=GN(K)/GN(I)
                     RGNN(I,K)=1./RGNN(K,I)
                     RAP(I,I)=APGFN(I)/APGFN(I)
                     RAP(I,K)=1./RAP(K,I)
                     RTIMS(I,K)=RGNA(I,K)*RAP(I,K)
                     RTIMS(I,K)=1./RTIMS(K,I)
                     DART(K,I)=1.-RTIMS(K,I)
                     DART(I,K)=1.-RTIMS(I,K)


```

```

145      2      CONTINUE
          SC1=J.
          SA1=0.
          SC2=0.
          SA2=0.
          DO 99 J=1,I
          IF(I=1)51,50,51
          50   CONTINUE
          C(1,1)=1.
          GO TO 52
          51   CONTINUE
          PC=1
          DO 53 NI=1,I
          IF(NI=J)54,55,54
          54   DO=0ART(NI,J)
          55   CONTINUE
          PC=PC*DO
          53   CONTINUE
          C(I,J)=RTIMS(I,J)/PC
          CONTINUE
          CC090(I,J)=C(I,J)*VT090(J)**J*FUN1(J)/VT090(I)
          AC090(I,J)=C(I,J)*EXP(-RC/VT090(J))*RTIMS(J,I)
          CC150(I,J)=C(I,J)*VT150(J)**3*FUN2(J)/VT150(I)
          AC150(I,J)=C(I,J)*EXP(-RC/VT150(J))*RTIMS(J,I)
          SC1=SC1+CC090(I,J)
          SA1=SA1+AC090(I,J)
          SC2=SC2+CC150(I,J)
          SA2=SA2+AC150(I,J)
          99   CONTINUE
          HI1(I)=AK(I)*(CONST*SC1+SA1)
          HI2(I)=AK(I)*(CONST*SC2+SA2)
          HIEF1=HIEF1+HI1(I)
          HIEF2=HIEF2+HI2(I)
          1    CONTINUE
          COEFF=.0
          DO 200 JN=1,NXN
          COEFF=COEFF*AK(JN)
          200 CONTINUE
          HIEF1=HIEF1/COEFF
          HIEF2=HIEF2/COEFF
          DH1=HIEF1-HIEF2
          IF(KAY=1)103,104,103
          GO TO 105
          103 104 CONTINUE
          PRINT 44,HIEF1,HIEF2
          44   FORMAT(5X,9HHI,EFF90=,F8.6,5X,10HHI,EFF160=,F8.6)
          PRINT 45,DH1
          45   FORMAT(5X,8HDH1,EFF=,F8.6)
          105 201 CONTINUE
          CONTINUE
          Y=DH1
          IF(KAY=1)106,107,106
          GO TO 108
          106 107 CONTINUE
          PRINT 23,(E(I),I=1,9,1)
          23   FORMAT(5X,4HE=,9(6X,F5.1))
          PRINT 24,(ER(I),I=1,9,1)
          24   FORMAT(5X,4HER=,9(6X,F5.2))
          PRINT 25,(ERF(I),I=1,9,1)
          25   FORMAT(5X,4HERF=,9(6X,F5.2))
          PRINT 37,(TF(I),I=1,9,1)
          37   FORMAT(5X,4HTF=,9(6X,F5.3))
          PRINT 46,(GN(I),I=1,9,1)
          46   FORMAT(5X,4HGN=,9(6X,E10.2))
          PRINT 47,(TIME(I),I=1,9,1)
          47   FORMAT(4X,5HTIME=,9(1X,E10.3)/9X,9(8X,3H-16))
          PRINT 27,(APGFN(I),I=1,9,1)
          27   FORMAT(3X,6H1+GN=,9(2X,F9.6))
          PRINT 36,(AK(I),I=1,9,1)
          36   FORMAT(5X,3HAK=,F7.5)
          PRINT 38,COEFF
          38   FORMAT(5X,18HTHE SUM OF AK(I)=,1X,F7.5)
          CONTINUE
          RETURN
          END

```

```

1      SUBROUTINE LINT1 (XA,XT,N,FK,KA,F)
2      DIMENSION XT(N),FK(32),F(KA)
3      T=XA
4      N1=1
5      N2=N
6      IT=N1
7      IF(N2-N1-1) 10,10,6
8      AB1=N1
9      AB2=N2
10     I=INT((AB1+AB2)/2.)
11     IF(XT(N2)-XT(N1))11,11,13
12     IF(T-XT(I)) 8,8,9
13     IT=I
14     GO TO 4
15     N1=I
16     GO TO 3
17     T1=XT(IT)
18     T2=XT(IT+1)
19     UC 1d KT=1,KA
20     INC=IT+(KT-1)*N
21     FT1=FK(INC)
22     FT2=FK(INC+1)
23     FT=FT1+(FT2-FT1)*(T-T1)/(T2-T1)
24     F(KT)=FT
25     CONTINUE
26     RETURN
27     END

```

### Литература

1. Каманин В.В., Карамян С.А. *ОИЯИ*, Р7-10061, Дубна, 1976; *ОИЯИ*, Р7-10062, Дубна, 1976.
2. Каманин В.В., и др. ЯФ, 1972, 16, с.447; *ОИЯИ*, Р7-6302, Дубна, 1972.
3. Бугров В.Н. и др *ОИЯИ*, Р7-9690, Дубна, 1976.
4. Sikkeland T. *Phys.Rev.*, 1964, 135B, p.669.
5. Sikkeland T. e.a. *Phys. Rev.*, 1971, 3C, p.329.
6. Донец Е.Д., Щеголев В.А., Ермаков В.А. ЯФ, 1965, 2, с.1015.
7. Каманин В.В., Карамян С.А. *ОИЯИ*, Р7-10281, Дубна, 1976.
8. Юйзенга Дж., Ванденбош Р. В кн.: Ядерные реакции, т.2, Атомиздат, М., 1964, с.51.
9. Карамян С.А. и др. *ОИЯИ*, Р7-5884, Дубна, 1971.
10. Бочев Б. и др. ЯФ, 1976, 23, с.520; *ОИЯИ*, Р7-8676, Дубна, 1975.
11. Myers W.D., Swiatecki W.J. *Preprint UCRL-11980*, 1965.
12. Пик-Пичак Г.А. ЖЭТФ, 1958, 34, с.341.
13. Александров Л. *ОИЯИ*, Р5-7259, Дубна, 1973.
14. Александров Л. *ОИЯИ*, Б1-5-9969, Дубна, 1976.
15. Барашенков В.С. и др. *ОИЯИ*, Р7-7165, Дубна, 1973.

Рукопись поступила в издательский отдел  
11 марта 1977 года.